Objectif : Discuter certains aspects de la modélisation elasto-plastique d'une tôle laminée puis emboutie.

# Hypothèses:

- Matériau isotrope
- Comportement élasto-plastique avec écrouissage linéaire
- Elasticité de Hooke
- Plasticité de Von Misés.
- Q1 : Expliquer les hypothèses présentées ci-dessus.
- Q2 : Présenter le modèle rhéologique correspondant. Rappeler la construction et l'écriture du modèle.
- Q3 : Ecrire les lois d'évolution plastique et montrer que  $\frac{\dot{\varepsilon}_{ij}^{p}}{\dot{\varepsilon}} = \frac{3}{2} \frac{S_{ij}}{\sigma_0}$  où  $\dot{\varepsilon}$  est la vitesse de

déformation équivalente,  $S_{ij}$  une composante du tenseur déviateur des contraintes et  $\sigma_0$  la contrainte d'écoulement.

Montrer que 
$$\bar{\varepsilon} = \sqrt{\frac{2}{3}} \sqrt{\varepsilon_x^2 + \varepsilon_y^2 + \varepsilon_z^2}$$
 en repères principales.

Q4 : Laminage à froid d'une tôle mince :

Hypothèse : - Matériau rigide plastique + déformation plane (  $b >> h_{moyen} \Rightarrow \varepsilon_2 = 0$  )

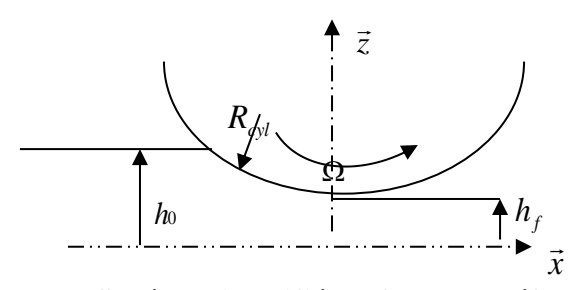


Schéma simplifié du foyer de déformation

Paramètres géométriques :  $h_0$ ,  $h_f$ ,  $R_{cyl}$ , b.

Paramètres cinématiques :  $\Omega$ 

$$\sigma_{ij} = \begin{bmatrix} \sigma_x & 0 & 0 \\ 0 & \sigma_y & 0 \\ 0 & 0 & \sigma_z \end{bmatrix} \quad \dot{\varepsilon}_{ij} = \begin{bmatrix} -\dot{\varepsilon}_z & 0 & 0 \\ 0 & 0 & 0 \\ 0 & 0 & \dot{\varepsilon}_z \end{bmatrix}$$

- Justifier l'écriture de ces deux tenseurs.

- Montrer que  $\bar{\varepsilon} = \frac{2}{\sqrt{3}} |\varepsilon_z|$ .
- Montrer que  $\sigma_y = \frac{\sigma_x + \sigma_z}{2}$  et que  $\overline{\sigma} = \frac{\sqrt{3}}{2} |\sigma_x \sigma_z|$
- Montrer que la loi de comportement s'écrit :  $\left|\sigma_x \sigma_z\right| \le \frac{2}{\sqrt{3}}a + \frac{4}{3}b \left|\ln \frac{h}{h_0}\right|$
- Au bord  $\sigma_y = 0$  et  $\dot{\varepsilon}_x = 0$ 
  - o Justifier ces deux hypothèses.
  - $\circ \quad \text{Montrer que } \sigma_x = \frac{\sigma_z}{2} \text{ et que } \overline{\sigma} = \frac{\sqrt{3}}{2} |\sigma_z|.$
  - O Montrer qu'une loi de comportement permet de calculer  $\left|\sigma_z(x)_{au\ bord}\right|$  en fonction de a, b et h. On doit trouver  $\left|\sigma_z(x)_{au\ bord}\right| = \frac{2}{\sqrt{3}}a + \frac{4}{3}\left|\ln\frac{h}{h_0}\right|$ .
- Au centre l'équilibre d'une tranche  $(\sum \vec{F} / \vec{x} = \vec{0})$  permet d'écrire :  $\frac{d\sigma_x}{dx} = \frac{1}{h(x)} \left\{ (\sigma_z \sigma_x) \frac{dh}{dx} \tau \right\}$  où  $\tau$  est une contrainte de scission.
  - $\circ \quad \text{Montrer que } h(x) = h_0 \frac{x^2}{2R} \ .$
  - On pose  $\tau = -m\frac{\sigma_0}{\sqrt{3}}\frac{\vec{v}_g}{|\vec{v}_g|}$  où  $\vec{v}_g$  est la vitesse de glissement  $(v_g = v_x v_0)$ ,  $v_0 = \Omega R$ . Expliquer dans ce cas la relation entre  $\tau(x)$  et  $v_g(x)$ .
  - $\circ$  Ecrire l'équation d'équilibre en fonction de x avec  $a,b,m,R,h_0$  comme constantes. Analyser.

 $\mbox{Q5-}$  Emboutissage : Les tenseurs de contraintes et des vitesses de déformations s'écrivent :

$$\sigma_{ij} = \begin{bmatrix} \sigma_1 & 0 & 0 \\ 0 & \sigma_2 & 0 \\ 0 & 0 & 0 \end{bmatrix} \quad \dot{\varepsilon}_{ij} = \begin{bmatrix} -\dot{\varepsilon}_1 & 0 & 0 \\ 0 & \dot{\varepsilon}_2 & 0 \\ 0 & 0 & \dot{\varepsilon}_3 \end{bmatrix} \text{ On pose} : \rho = \frac{\dot{\varepsilon}_2}{\dot{\varepsilon}_1} \text{ et } x = \frac{\sigma_2}{\sigma_1}.$$

- 1- Justifier l'écriture de ces deux tenseurs.
- 2- Calculer  $\rho$  et x dans les 4 cas suivants :

Traction simple (T-S):  $\sigma_2 = 0$ 

Expansion biaxiée :  $\varepsilon_2 = \varepsilon_1$ 

Déformation plane :  $\varepsilon_2 = 0$ 

Cisaillement simple :  $\varepsilon_2 = -\varepsilon_1$ 

- 3- Montrer que dans les cas de la traction simple, du cisaillement simple et en expansion biaxiée, la loi de comportement suffit pour déterminer  $\sigma_{ij}$ .
- 4- Donner le sens de  $\mathcal{E}_3$  (épaississement ou rétrécissement dans ces quatre cas.

#### **Solution**

# Q1:

- Matériau isotrope : Cela veut dire que les propriétés mécaniques du matériau sont les mêmes dans toutes les directions. Autrement dit la contrainte d'écoulement  $\sigma_0$  est invariante par rotation.
- Comportement élasto-plastique :  $\varepsilon^T = \varepsilon^e + \varepsilon^p$ . L'écrouissage linéaire est une hypothèse qui donne une relation linéaire entre  $\overline{\sigma}$  et  $\overline{\varepsilon}$  dans le domaine plastique. Autrement dit,  $\overline{\sigma}(\overline{\varepsilon})$  est une droite dans le domaine plastique.  $\overline{\sigma}$  est la contrainte équivalente et  $\overline{\varepsilon}$  est la déformation équivalente de Von Misés.
- Elasticité de Hooke : Cela veut dire que nous sommes dans le cadre des hypothèses à la base de la loi de Hooke et qui sont l'isotropie et la linéarité entre  $\sigma_{ij}$  et  $\varepsilon^e_{ij}$ .
- Plasticité de Von Misés : C'est le cadre basique de plasticité associée (  $f(\sigma_{ij}) = g(\sigma_{ij})$ ) où  $f(\sigma_{ij})$  est la fonction seuil et  $g(\sigma_{ij})$  le potentiel plastique dans le cadre du principe du travail maximal de Hill (  $\bar{\sigma}.\dot{\bar{\varepsilon}} > 0 \Rightarrow f(\sigma_{ij})$  convexe et  $\dot{\varepsilon} \perp \partial C$ ),  $\partial C$  tout élément appartenant à la surface seuil de  $f(\sigma_{ij})$ . Elle s'appuie sur les hypothèses suivantes :
  - o Matériau Isotrope.
  - o Insensibilité à la pression hydrostatique  $(f(\sigma_{ij}) = f(S_{ij}) = f(J_2) = \sqrt{3J_2})$ où  $J_2$  est le deuxième invariant du tenseur déviateur.
  - o Effet baushinger négligé.

### Q2:

- Le montage rhéologique est donné par la combinaison en série entre un ressort et un ressort avec un patin en parallèle.
- Construction et écriture du modèle :

L'application du premier principe de la thermodynamique aux corps déformables donne :  $\sigma_{ij}\dot{\varepsilon}_{ij}=\dot{W}^e+\dot{W}^p+\phi$  où  $\dot{W}^e$  est l'énergie élastique accumulée,  $\dot{W}^p$  l'énergie accumulée

lors de la déformation plastique (sous forme d'empilement de dislocations) et  $\phi$  l'énergie dissipée.

$$W = \frac{1}{2}E_{1}\varepsilon_{1}^{e^{2}} + \frac{1}{2}E_{2}\varepsilon_{2}^{p^{2}}, \quad \varepsilon_{2}^{e} = \varepsilon_{2}^{p}$$

$$\Omega(\dot{\varepsilon}^{p}) = K_{2}|\dot{\varepsilon}^{p}|$$

$$\phi = \sigma.\dot{\varepsilon} - \dot{W} = \left(\sigma - \frac{\partial W}{\partial \varepsilon_{1}^{e}}\right)\dot{\varepsilon}_{1}^{e} + \left(\sigma - \frac{\partial W}{\partial \varepsilon_{2}^{p}}\right)\dot{\varepsilon}_{2}^{p} > 0 \text{ (En vertu du second principe de la}$$

$$\begin{cases} X = \frac{\partial \Omega}{\partial \dot{\varepsilon}_{1}^{e}} = \sigma - \frac{\partial W}{\partial \varepsilon_{1}^{e}} = 0 \Rightarrow \sigma = E_{1} \varepsilon_{1}^{e} \\ \sigma - \frac{\partial W}{\partial \varepsilon_{2}^{p}} = \frac{\partial \Omega}{\partial \dot{\varepsilon}_{2}^{p}} \Rightarrow \sigma = E_{2} \varepsilon_{2}^{p} + K signe \dot{\varepsilon}_{2}^{p} \\ \dot{\varepsilon}_{2}^{p} = \lambda \frac{\partial f}{\partial \sigma_{p}} \end{cases}$$

thermodynamique).

X: Force thermodynamique, il caractérise l'écart par rapport à l'état d'équilibre thermodynamique.

 $\dot{x}$ : Flux thermodynamique, il représente la vitesse de retour à l'état d'équilibre thermodynamique.

Où 
$$X = \begin{vmatrix} \sigma_{ij} = \frac{\partial \Omega}{\partial \dot{\varepsilon}} \\ -R(p) = \frac{\partial \Omega}{\partial \dot{p}} = \frac{\partial \hat{W}}{\partial p} \end{vmatrix}$$
  $et$   $\dot{x} = \begin{vmatrix} \dot{\varepsilon}_{ij} = \lambda \frac{\partial f}{\partial \sigma_{ij}} \\ + \dot{p} = \lambda \end{vmatrix}$ 

En élastoplasticité  $f(X) = f(\sigma_{ij}, R(p)) \le 0$ 

Ecrouissage isotrope  $\Rightarrow f(X) = f(\sigma_{ij}) - R(p) \le 0$ 

Plasticité  $\Rightarrow f(\sigma_{ij}) - R(p) = 0$  où  $\overline{\sigma} - R(p) = 0$ 

$$\overline{\sigma} = \sqrt{(H_{ijkl}\sigma_{kl})\sigma_{ij}} \text{ Où } H_{ijkl}\sigma_{kl} = \begin{vmatrix} A & B & B & 0 & 0 & 0 \\ B & A & B & 0 & 0 & 0 \\ B & B & A & 0 & 0 & 0 \\ 0 & 0 & 0 & C & 0 & 0 \\ 0 & 0 & 0 & 0 & C & 0 \\ 0 & 0 & 0 & 0 & C & 0 \\ 0 & 0 & 0 & 0 & C & 0 \end{vmatrix} \begin{bmatrix} \sigma_{11} \\ \sigma_{22} \\ \sigma_{33} \\ \sigma_{31} \\ \sigma_{32} \\ \sigma_{12} \end{vmatrix}$$

$$\begin{vmatrix} A & B & B \| \sigma_{1} | \end{bmatrix}$$

Ce qui donne en repère principale  $H_{ijkl}\sigma_{kl} = \begin{vmatrix} A & B & B & \sigma_1 \\ B & A & B & \sigma_2 \\ B & B & A & \sigma_3 \end{vmatrix}$ 

Du fait de l'hypothèse d'insensibilité à la pression hydrostatique, on peut poser  $\overline{\sigma} = \overline{S}$ Le calcul donne  $(A+2B)(\sigma_1 + \sigma_2 + \sigma_3) = 0 \Rightarrow A = -2B$ 

En posant A = 1 et en recalculant  $\vec{\sigma}$ , on retrouve la relation :

$$\overline{\sigma} = \frac{1}{\sqrt{2}} \sqrt{\left(\sigma_1 - \sigma_2\right)^2 + \left(\sigma_2 - \sigma_3\right)^2 + \left(\sigma_3 - \sigma_1\right)^2}$$

En élastoplasticité, on écrit :  $\overline{\sigma} - R() \le 0$ 

Pour modéliser un comportement plastique, il faut déterminer la fonction seuil  $\bar{\sigma}$  et l'énergie d'écrouissage  $\hat{W}(\varepsilon)$  qui permet de prévoir le développement de la taille de  $\bar{\sigma}$ .

$$R(p) = \frac{\partial \hat{W}}{\partial \varepsilon} = a + b\varepsilon \Rightarrow \hat{W} = \int (a + b\varepsilon) d\varepsilon = a\varepsilon + b\frac{\varepsilon^2}{2} + C$$

L'élastoplasticité avec écrouissage donne  $W = W^e + \hat{W}(p)$  où  $W^e = \frac{1}{2} A_{ijkl} \varepsilon_{kl}^e \varepsilon_{ij}^e$  où  $A_{ijkl}$  est la matrice d'élasticité dépend des coefficients de Young et de Poisson.

R(p)est identifiable grâce à des essais de traction simple (T-S).

Q3:

Loi d'évolution : 
$$\dot{\varepsilon}_{ij}^{p} = \lambda \frac{\partial f(\sigma_{ij})}{\partial \sigma_{ij}}$$
,

$$f(\sigma_{ij}) = \overline{\sigma} = \frac{1}{\sqrt{2}} \sqrt{(\sigma_{xx} - \sigma_{yy})^2 + (\sigma_{yy} - \sigma_{zz})^2 + (\sigma_{zz} - \sigma_{xx})^2 + 6(\sigma_{xy}^2 + \sigma_{yz}^2 + \sigma_{zx}^2)}$$

Le calcul donne

$$\dot{\varepsilon}_{xx} = \frac{\lambda}{2\overline{\sigma}} \left( 2\sigma_{xx} - \sigma_{yy} - \sigma_{zz} \right), \text{ or } S_{xx} = \sigma_{xx} - \frac{1}{3} \left( \sigma_{xx} + \sigma_{yy} + \sigma_{zz} \right) = \frac{1}{3} \left( 2\sigma_{xx} - \sigma_{yy} - \sigma_{zz} \right)$$

$$\dot{\varepsilon}_{xx} = \frac{\lambda}{2\overline{\sigma}} \frac{3}{3} \left( 2\sigma_{xx} - \sigma_{yy} - \sigma_{zz} \right) = \frac{3}{2} \lambda \frac{S_{xx}}{\overline{\sigma}}, \text{ or } \overline{\sigma} = \sigma_{0} \text{ et } \lambda = \dot{\overline{\varepsilon}} \Rightarrow \frac{\dot{\varepsilon}_{xx}}{\dot{\overline{\varepsilon}}} = \frac{3}{2} \frac{S_{xx}}{\sigma_{0}}$$

De même, le calcul donne :

$$\begin{cases} \frac{\dot{\varepsilon}_{xx}}{\dot{\varepsilon}} = \frac{3}{2} \frac{S_{xx}}{\sigma_0} \\ \frac{\dot{\varepsilon}_{yy}}{\dot{\varepsilon}} = \frac{3}{2} \frac{S_{yy}}{\sigma_0} \\ \frac{\dot{\varepsilon}_{zz}}{\dot{\varepsilon}} = \frac{3}{2} \frac{S_{zz}}{\sigma_0} \end{cases} \Rightarrow S_{ij} = \frac{2}{3} \sigma_0 \frac{\dot{\varepsilon}_{ij}}{\dot{\varepsilon}}$$

$$\dot{\varepsilon}_{x}^{2} + \dot{\varepsilon}_{y}^{2} + \dot{\varepsilon}_{z}^{2} = \left(\frac{\lambda}{2\overline{\sigma}}\right)^{2} \left[6\left(\sigma_{x}^{2} + \sigma_{y}^{2} + \sigma_{z}^{2} - \sigma_{y}\sigma_{z} - \sigma_{y}\sigma_{z} - \sigma_{z}\sigma_{x}\right)\right]$$

Le calcul donne :  $\dot{\varepsilon}_x^2 + \dot{\varepsilon}_y^2 + \dot{\varepsilon}_z^2 = \frac{3}{2}\lambda^2$ 

Ecrouissage isotrope  $\Rightarrow \lambda = \dot{p} = \dot{\bar{\varepsilon}} \Rightarrow \dot{\varepsilon}_x^2 + \dot{\varepsilon}_y^2 + \dot{\varepsilon}_z^2 = \frac{3}{2}\dot{\bar{\varepsilon}}^2$ 

Ce qui finalement donne la vitesse de déformation équivalente de Von Misés :

$$\dot{\bar{\varepsilon}} = \sqrt{\frac{2}{3}} \sqrt{\dot{\varepsilon}_x^2 + \dot{\varepsilon}_y^2 + \dot{\varepsilon}_z^2} = \sqrt{\frac{2}{3}} \sqrt{\dot{\varepsilon}_{ij}\dot{\varepsilon}_{ij}}$$

Conclusion : La vitesse de déformation équivalente de Von Misés est bien la conséquence de la plasticité de Von Misés.

Q4: Modélisation du laminage.

- Justification de  $\dot{arepsilon}_{ij}$  et  $\sigma_{ij}$  .

o Pas de cisaillement 
$$\Rightarrow$$
 si  $i \neq j$   $\dot{\varepsilon}_{ij} = 0 (\dot{\varepsilon}_{xy} = \dot{\varepsilon}_{yz} = \dot{\varepsilon}_{zx} = 0)$ 

- Tôle très large par rapport à la hauteur  $\Rightarrow v_y(y) \approx Const \Rightarrow \frac{\partial v_y}{\partial y} = \dot{\varepsilon}_y \rightarrow 0$ .

le tenseur 
$$\dot{\mathcal{E}}_{ij}$$
 s'écrit :  $\dot{\mathcal{E}}_{ij} = \begin{bmatrix} -\dot{\mathcal{E}}_z & 0 & 0 \\ 0 & 0 & 0 \\ 0 & 0 & \dot{\mathcal{E}}_z \end{bmatrix}$ 

$$Pour \quad i \neq j \Rightarrow \begin{cases} \dot{\varepsilon}_{xy} = 3\lambda \frac{\sigma_{xy}}{\overline{\sigma}} \Rightarrow \sigma_{xy} = 0\\ \dot{\varepsilon}_{yz} = 3\lambda \frac{\sigma_{yz}}{\overline{\sigma}} \Rightarrow \sigma_{yz} = 0 \quad \text{car } \lambda > 0 \text{ et } \overline{\sigma} > 0\\ \dot{\varepsilon}_{zx} = 3\lambda \frac{\sigma_{zx}}{\overline{\sigma}} \Rightarrow \sigma_{zx} = 0 \end{cases}$$

$$\dot{\varepsilon}_{y} = 0 = \frac{\lambda}{2\overline{\sigma}} \left( 2\sigma_{y} - \sigma_{x} - \sigma_{z} \right) \Rightarrow 2\sigma_{y} - \sigma_{x} - \sigma_{z} = 0 \Rightarrow \sigma_{y} = \frac{\sigma_{x} + \sigma_{z}}{2}$$

Comme  $\sigma_x \neq 0$ ,  $\sigma_z \neq 0$  et  $\sigma_x + \sigma_z \neq 0 \Rightarrow \sigma_y \neq 0 \neq 0$ , ce qui donne un tenseur des contraintes du type :

$$\sigma_{ij} = \begin{bmatrix} \sigma_x & 0 & 0 \\ 0 & \sigma_y & 0 \\ 0 & 0 & \sigma_z \end{bmatrix}$$

$$- \bar{\varepsilon} = \sqrt{\frac{2}{3}} \sqrt{\varepsilon_{ij} \varepsilon_{ij}} = \sqrt{\frac{2}{3}} \sqrt{\varepsilon_x^2 + \varepsilon_y^2 + \varepsilon_z^2} = \sqrt{\frac{2}{3}} \sqrt{\varepsilon_x^2 + \varepsilon_z^2} = \frac{2}{\sqrt{3}} |\varepsilon_z|$$

$$\operatorname{car} \varepsilon_y = 0 \text{ et } \varepsilon_x + \varepsilon_y + \varepsilon_z = 0.$$

Remarque : On doit écrire  $|\varepsilon_z|$  car  $\bar{\varepsilon}$  est positive et  $\varepsilon_z$  est négative du fait qu'il y'a diminution de l'épaisseur.

$$-f(\sigma_{ij}) = \overline{\sigma} = \frac{1}{\sqrt{2}} \sqrt{(\sigma_x - \sigma_y)^2 + (\sigma_y - \sigma_z)^2 + (\sigma_z - \sigma_x)^2}, \quad \sigma_y = \frac{\sigma_x + \sigma_z}{2}$$

$$f(\sigma_{ij}) = \overline{\sigma} = \frac{1}{\sqrt{2}} \sqrt{(\sigma_x - \frac{\sigma_x + \sigma_z}{2})^2 + (\frac{\sigma_x + \sigma_z}{2} - \sigma_z)^2 + (\sigma_z - \sigma_x)^2}$$

$$f(\sigma_{ij}) = \overline{\sigma} = \frac{1}{\sqrt{2}} \sqrt{\frac{6}{4} (\sigma_z - \sigma_x)^2} = \sqrt{\frac{3}{2}} |\sigma_x - \sigma_z|$$

- Ecriture de la loi de comportement s'écrit :

$$\overline{\sigma} = \sqrt{\frac{3}{2}} |\sigma_x - \sigma_z| et \, \overline{\varepsilon} = \frac{2}{\sqrt{3}} |\varepsilon_z|,$$

Sachant que  $\sigma_0 = a + b\bar{\varepsilon}$  on  $\operatorname{ecrit} \sqrt{\frac{3}{2}} |\sigma_x - \sigma_z| \le a + b\bar{\varepsilon}$ , le calcul donne  $|\sigma_x - \sigma_z| \le \frac{2}{\sqrt{3}} a + \frac{4}{3} b \left| \ln \frac{h}{h_0} \right|$ 

- Au bord 
$$\sigma_y = 0$$
 et  $\dot{\varepsilon}_x = 0$ .

Au bord 
$$v_x(x) \approx Const \Rightarrow \frac{\partial v_x}{\partial x} = \dot{\varepsilon}_x \to 0$$

Bord libre  $\Rightarrow$  la contrainte normale à ce bord doit être nulle, comme l'élargissement est négligeable  $\sigma_y$  sera pratiquement normale au bord et donc ça sera  $\sigma_y$  qui sera nulle.

$$\dot{\varepsilon}_{x} = 0 = \frac{\lambda}{2\overline{\sigma}} \left( 2\sigma_{x} - \sigma_{y} - \sigma_{z} \right) \Rightarrow 2\sigma_{x} - \sigma_{z} = 0 \Rightarrow \sigma_{x} = \frac{\sigma_{z}}{2}$$

$$f\left(\sigma_{ij}\right) = \overline{\sigma} = \frac{1}{\sqrt{2}} \sqrt{\left(\sigma_{x} - \sigma_{y}\right)^{2} + \left(\sigma_{y} - \sigma_{z}\right)^{2} + \left(\sigma_{z} - \sigma_{x}\right)^{2}}, \ \sigma_{y} = 0 \text{ et } \sigma_{x} = \frac{\sigma_{z}}{2}$$

$$\Rightarrow \overline{\sigma} = \frac{1}{\sqrt{2}} \sqrt{\frac{1}{4}\sigma_{z}^{2} + \sigma_{z}^{2} + \frac{1}{4}\sigma_{z}^{2}} = \frac{\sqrt{3}}{2} |\sigma_{z}|$$

La loi de comportement donne  $\overline{\sigma} = a + b\overline{\varepsilon}$ 

$$\bar{\varepsilon} = \sqrt{\frac{2}{3}} \sqrt{\varepsilon_y^2 + \varepsilon_z^2} = \frac{2}{\sqrt{3}} |\varepsilon_z|, \ \frac{\sqrt{3}}{2} |\sigma_z| = a + \frac{2}{\sqrt{3}} b |\varepsilon_z|$$

Ce qui donne : 
$$|\sigma_z| = \frac{2}{\sqrt{3}}a + \frac{4}{3}b|\varepsilon_z|$$
,  $\sigma_x = \frac{\sigma_z}{2}$ ,  $\sigma_y = 0$ 

- En appliquant le théorème de Pythagore on obtient :  $x^2 + (R - (\Delta h))^2 = R^2$ ,  $\Delta h = h - h_f$  en posant  $\Delta h^2 \to 0$ , on obtient  $x = \sqrt{2R_{cyl}(h - h_f)}$  et donc  $h(x) = h_0 - \frac{x^2}{2R_{cyl}}$ .

$$- \qquad \tau = -m\frac{\sigma_0}{\sqrt{3}} \frac{\vec{v}_g}{|\vec{v}_g|}$$

La contrainte de frottement  $\tau$  ne dépend pas de la vitesse de glissement en module.  $\tau$  dépend de  $\vec{v}_g$  en direction et en sens (même direction et sens opposé). On retrouve le cadre de la plasticité indépendante des vitesses.

 $-\frac{d\sigma_x}{dx} = \frac{1}{h(x)} \left\{ (\sigma_z - \sigma_x) \frac{dh}{dx} - \tau \right\}, \text{ C'est une équation différentielle d'ordre un à trois inconnues} \left( \sigma_x(x), \sigma_z(x) et \tau(x), \right).$ 

Sachant que  $h(x) = h_0 - \frac{x^2}{2R_{col}}$ ,  $\Rightarrow \frac{dh}{dx} = -\frac{x}{R}$ , que la loi de comportement donne

 $\left|\sigma_x - \sigma_z\right| = \frac{2}{\sqrt{3}}a + \frac{4}{3}b\left|\ln\frac{h}{h_0}\right|$  et que la loi de frottement donne  $\tau = \mp m\frac{\sigma_0}{\sqrt{3}}$ , l'équation

d'équilibre donne :  $\frac{d\sigma_x}{dx} = \frac{2R}{2Rh_0 - x^2} \left\{ \frac{2}{\sqrt{3}} a + \frac{4}{3} b \left| \ln \frac{h}{h_0} \right| \frac{x}{R} \pm m \frac{\sigma_0}{\sqrt{3}} \right\}$ 

Avec  $\sigma_0 = a + \frac{2}{\sqrt{3}}b \left| \ln \frac{h}{h_0} \right|$ 

On voit bien que le gradient de contrainte  $\frac{d\sigma_x}{dx}$  est fonction de

a,b: Paramètres du matériau laminée

 $\it m$  : Paramètre de frottement, c'est en fait le coefficient de frottement de Tresca.

 $R, h_0, x$ : Paramètres géométriques lors du laminage.

Q5 : Modélisation de l'emboutissage.

- Pas de cisaillement  $\Rightarrow sii \neq j \quad \dot{\varepsilon}_{ij} = 0$  et  $\sigma_{ij} = 0$ 

 $\sigma_3 = 0$  car feuille mince et surface libre.

Donc les tenseurs de contraintes et des vitesses de déformations s'écrivent :

$$\sigma_{ij} = \begin{bmatrix} \sigma_1 & 0 & 0 \\ 0 & \sigma_2 & 0 \\ 0 & 0 & 0 \end{bmatrix} \quad \dot{\varepsilon}_{ij} = \begin{bmatrix} -\dot{\varepsilon}_1 & 0 & 0 \\ 0 & \dot{\varepsilon}_2 & 0 \\ 0 & 0 & \dot{\varepsilon}_3 \end{bmatrix}$$

$$- \rho = \frac{\dot{\varepsilon}_2}{\dot{\varepsilon}_1} \operatorname{et} x = \frac{\sigma_2}{\sigma_1}.$$

T-S:  $\sigma_2 = 0$ ,  $\sigma_3 = 0$  et  $\overline{\sigma} = \sigma_1 = \sigma$ 

$$\sigma_{2} = 0 \Rightarrow x = 0, \ \dot{\varepsilon}_{2} = \frac{\lambda}{2\overline{\sigma}} (2\sigma_{2} - \sigma_{1} - \sigma_{3}) = -\lambda \frac{\sigma}{2\sigma} = -\frac{\lambda}{2}$$

$$\dot{\varepsilon}_{1} = \frac{\lambda}{2\overline{\sigma}} (2\sigma_{1} - \sigma_{2} - \sigma_{3}) = -\lambda \frac{\sigma}{\sigma} = \lambda$$

$$\begin{cases} \dot{\varepsilon}_{2} = \frac{\lambda}{2\overline{\sigma}} (2\sigma_{2} - \sigma_{1} - \sigma_{3}) = -\lambda \frac{\sigma}{2\sigma} = -\frac{\lambda}{2} \\ \dot{\varepsilon}_{1} = \frac{\lambda}{2\overline{\sigma}} (2\sigma_{1} - \sigma_{2} - \sigma_{3}) = -\lambda \frac{\sigma}{\sigma} = \lambda \end{cases} \Rightarrow \dot{\varepsilon}_{1} = -2\dot{\varepsilon}_{2} \ \rho = -\frac{1}{2}$$

EB:  $\varepsilon_2 = \varepsilon_1 \Rightarrow \rho = 1$ 

Pour calculer  $x = \frac{\sigma_2}{\sigma_1}$ , il faut trouver une relation entre  $\sigma_2$  et  $\sigma_1$ .

En utilisant une loi d'évolution, on trouve :

$$\dot{\varepsilon}_{1} = \frac{\lambda}{2\overline{\sigma}} (2\sigma_{1} - \sigma_{2}) = \dot{\varepsilon}_{2} = \frac{\lambda}{2\overline{\sigma}} (2\sigma_{2} - \sigma_{1}) \Rightarrow \sigma_{2} = \sigma_{1} \Rightarrow x = 1$$

$$DP : \dot{\varepsilon}_{2} = 0 = \frac{\lambda}{2\overline{\sigma}} (2\sigma_{2} - \sigma_{1}) \Rightarrow 2\sigma_{2} - \sigma_{1} = 0 \Rightarrow \sigma_{2} = \frac{\sigma_{1}}{2} \Rightarrow x = \frac{1}{2}$$

$$\rho = \frac{\dot{\varepsilon}_{2}}{\dot{\varepsilon}_{1}} = 0$$

$$C-S : \rho = -1 = \frac{\dot{\varepsilon}_{2}}{\dot{\varepsilon}_{1}} = \frac{2\sigma_{2} - \sigma_{1}}{2\sigma_{1} - \sigma_{2}} \Rightarrow 2\sigma_{2} - \sigma_{1} = -2\sigma_{1} + \sigma_{2} \Rightarrow \sigma_{2} = -\sigma_{1} \Rightarrow x = -1$$

$$\dot{\varepsilon}_1 = 2\sigma_1 - \sigma_2$$

	E-B	D-P	T-S	C-S
ρ	1	0	- 0,5	-1
X	1	0,5	0	-1

On montrera qu'en EB, en TS et en CS on peut calculer les contraintes suite à l'utilisation d'une loi de comportement. Dans tous les cas on réduira le calcul de la contrainte équivalente  $\overline{\sigma}$  en fonction de  $\sigma_1$  ou  $\sigma_3$  puis la déformation équivalente  $\bar{\varepsilon}$  en fonction de  $\varepsilon_3$  ( $\varepsilon_3 = \ln \frac{h}{h}$ ). On appliquera en suite la relation  $\bar{\sigma} = a + b\bar{\varepsilon}$  et on trouvera  $\sigma_3$  en fonction de a,b qui sont des paramètres du matériau et  $\varepsilon_3$ .

$$\sigma_2 = \sigma_1 donc \,\overline{\sigma} = \frac{1}{\sqrt{2}} \sqrt{\sigma_1^2 + \sigma_2^2} = \sqrt{\sigma_1^2} = |\sigma_1|$$

$$\varepsilon_{1} = \varepsilon_{2} \Rightarrow \overline{\varepsilon} = \sqrt{\frac{2}{3}} \sqrt{2\varepsilon_{1}^{2} + \varepsilon_{3}^{2}}, \quad 2\varepsilon_{1} + \varepsilon_{3} = 0 \Rightarrow \varepsilon_{1} = -\frac{\varepsilon_{3}}{2} \Rightarrow \overline{\varepsilon} = \sqrt{\frac{2}{3}} \sqrt{\frac{1}{2}\varepsilon_{3}^{2} + \frac{2}{2}\varepsilon_{3}^{2}} = \sqrt{\frac{2}{3}} \sqrt{\frac{3}{2}} |\varepsilon_{3}|$$

$$\overline{\varepsilon} = |\varepsilon_{3}|$$

Loi d'écrouissage :  $|\sigma_1| = a + b|\varepsilon_3|$ 

$$\dot{\varepsilon}_{2} = 0 \Rightarrow \sigma_{2} = \frac{\sigma_{1}}{2} \Rightarrow \overline{\sigma} = \frac{\sqrt{3}}{2} |\sigma_{1}|$$

$$3$$

$$\frac{\sqrt{3}}{2} |\sigma_{1}| = a + b \frac{2}{\sqrt{3}} |\varepsilon_{3}| \Rightarrow |\sigma_{1}| = |\sigma_{2}| \frac{2}{\sqrt{3}} a + \frac{4}{3} b |\varepsilon_{3}|, \sigma_{3} = 0$$

TS:  

$$\overline{\sigma} = \sigma_1, \sigma_2 = 0$$
  
 $\overline{\varepsilon} = \sqrt{\frac{2}{3}} \sqrt{\varepsilon_1^2 + \varepsilon_2^2 + \varepsilon_3^2}, \ \varepsilon_2 = \varepsilon_3 = -\frac{1}{2} \varepsilon_1 \implies \overline{\varepsilon} = -2\varepsilon_3$   
 $\sigma_1 = a - 2b\varepsilon_3 = a + b\varepsilon_1$ 

CS: 
$$\sigma_1 = -\sigma_2$$
,  $\varepsilon_1 = -\varepsilon_2$   

$$\overline{\sigma} = \frac{1}{\sqrt{2}} \sqrt{(2\sigma_1)^2 + (-\sigma_1)^2 + \sigma_1^2} = \sqrt{2} |\sigma_1|$$

$$\overline{\varepsilon} = \sqrt{\frac{2}{3}} \sqrt{2\varepsilon_1^2} = \frac{2}{\sqrt{3}} |\varepsilon_3| \text{ Car } \varepsilon_3 = -(\varepsilon_1 + \varepsilon_2) = -(\varepsilon_1 - \varepsilon_1) = 0$$

$$|\sigma_1| = \frac{1}{\sqrt{2}} a + 2\sqrt{\frac{2}{3}} b |\varepsilon_1|$$

Conclusion : Dans ces quatre cas limites, une loi de comportement suffit pour calculer  $\sigma_{ij}$ 

- L'épaississement ou le rétrécissement dépend du signe de  $\varepsilon_3$  (si  $\varepsilon_3 < 0 \Rightarrow$  rétrécissement, si  $\varepsilon_3 > 0 \Rightarrow$  épaississement).  $\varepsilon_3 = -(\varepsilon_1 + \varepsilon_2)$ 

EB: 
$$\varepsilon_1 > 0, \varepsilon_2 > 0 \Longrightarrow \varepsilon_3 < 0$$

DP: 
$$\varepsilon_1 > 0, \varepsilon_2 = 0 \Longrightarrow \varepsilon_3 < 0$$

TS: 
$$\varepsilon_1 < 0, \varepsilon_2 > 0$$
,  $\varepsilon_3 = -\varepsilon_1/2 \Longrightarrow \varepsilon_3 > 0$ 

$$CS: \varepsilon_1 = -\varepsilon_2 \Longrightarrow \varepsilon_3 = 0$$

TD 02

1. Cours

1.1

Répondez par oui ou non :

$$a: \sigma_{ij} = \begin{vmatrix} 0 & \tau & \tau \\ \tau & 0 & 0 \\ \tau & 0 & 0 \end{vmatrix} \begin{cases} -\textit{Tenseur purement déviateur} \\ -\textit{Pas de var iation de volume} \\ -\textit{Pas de var iation de forme} \end{cases}$$

b : Calculer les contraintes principales.

Justifiez vos choix en utilisant les résultats de ce calcul.

# 1-2 Soit la relation contrainte déformation dans le domaine élastique :

$$\begin{vmatrix} \sigma_{11} \\ \sigma_{22} \\ \sigma_{33} \\ \sigma_{31} \\ \sigma_{32} \\ \sigma_{12} \end{vmatrix} = \begin{vmatrix} A & B & E & 0 & 0 & 0 \\ B & A & E & 0 & 0 & 0 \\ E & E & D & 0 & 0 & 0 \\ 0 & 0 & 0 & C & 0 & 0 \\ 0 & 0 & 0 & 0 & C & 0 \\ 0 & 0 & 0 & 0 & A - B \end{vmatrix} \begin{vmatrix} \varepsilon_{11} \\ \varepsilon_{22} \\ \varepsilon_{33} \\ \varepsilon_{31} \\ \varepsilon_{32} \\ \varepsilon_{12} \end{vmatrix}$$

a:répondez par oui ou non:

### b : La relation Contrainte-déformation dans le cas de Hooke s'écrit

$$\left(\sigma_{ij} = \lambda \delta_{ij} \varepsilon_{kk} + 2\mu \varepsilon_{ij}\right)$$

c : Donnez les hypothèses à la base de cette relation.

. Remplir le tenseur d'élasticité

$$\begin{vmatrix} \sigma_{11} \\ \sigma_{22} \\ \sigma_{33} \\ \sigma_{31} \\ \sigma_{32} \\ \sigma_{12} \end{vmatrix} = \begin{vmatrix} \varepsilon_{11} \\ \varepsilon_{22} \\ \varepsilon_{33} \\ \varepsilon_{31} \\ \varepsilon_{32} \\ \varepsilon_{12} \end{vmatrix}$$

#### 1.3 Plasticité de Von-Misés

$$\frac{1}{\sqrt{2}}\sqrt{(\sigma_{11}-\sigma_{22})^2+(\sigma_{22}-\sigma_{33})^2+(\sigma_{33}-\sigma_{11})^2+6(\sigma_{12}^2+\sigma_{23}^2+\sigma_{31}^2)}-\sigma_e \le 0$$

a: Répondez par oui ou non : Hypothèses :

variation de volume
Effet Baushinger négligé
Matériau anisotrope

b: Soit les tenseurs de contraintes suivants :

$$\sigma_{ij} = \begin{vmatrix} 0 & \tau & \tau \\ \tau & 0 & 0 \\ \tau & 0 & 0 \end{vmatrix}$$
: Montrer que dans ce cas, nous n'avons pas de variation de volume.

$$\sigma_{ij} = \begin{vmatrix} 0 & \tau & \tau \\ \tau & 0 & 0 \\ \tau & 0 & 0 \end{vmatrix}$$
: Montrer que quelque-soit la valeur de  $\sigma$ , on n'a pas de déformation

plastique.

$$\sigma_{ij} = \begin{vmatrix} \sigma & 0 & 0 \\ 0 & 0 & 0 \\ 0 & 0 & 0 \end{vmatrix}$$
: Montrer que dans ce cas, nous avons une variation de volume et une

variation de forme.

c : Montrer qu'on peut aussi écrire ce critère dans la forme suivante :

$$\sqrt{3J_2} - \sigma_e \le 0$$
.  $J_2$ est le second invariant du tenseur déviateur.

### 2. Exercice

$$\sigma_{ij} = \begin{bmatrix} \sigma_{11} & \sigma_{12} & 0 \\ \sigma_{21} & \sigma_{22} & 0 \\ 0 & 0 & 0 \end{bmatrix}, \varepsilon_{ij} = \begin{bmatrix} \varepsilon_1 & \varepsilon_{12} & 0 \\ \varepsilon_{21} & \varepsilon_2 & 0 \\ 0 & 0 & \varepsilon_3 \end{bmatrix}$$

### 2.1 Théorie des contraintes

- . Calculer les contraintes principales.
- . Calculer les tenseurs sphérique et déviateur.
- . Calculer la contrainte normale octaédrique, la contrainte totale octaédrique et la contrainte tangentielle octaédrique.

# 2.2 Comportement élastique :

a: Montrer que la loi de Hooke :  $\varepsilon_{ij}^e = \frac{1+v}{E}\sigma_{ij} - \frac{v}{E}\sigma_{KK}\delta_{ij}$  peut s'écrire :

$$\sigma_{ij} = \frac{E}{1+\nu} \varepsilon_{ij}^e + \frac{\nu . E}{\left(1-2\nu\right)\!\left(1+\nu\right)} \varepsilon_{KK} \delta_{ij} \text{ et que } \sigma_{ij} = A_{ijkl} \varepsilon_{kl}^e \text{ et } \varepsilon_{ij}^e = A_{ijkl}^{-1} \sigma_{kl}.$$

*b*: Présenter les matrices de rigidité  $A_{ijkl}$  et de complaisance  $A_{ijkl}^{-1}$  en fonction du module de Young et du coefficient de poisson.

c : Donner la démarche qui permet d'identifier le module de Young et le Coefficient de Poisson.

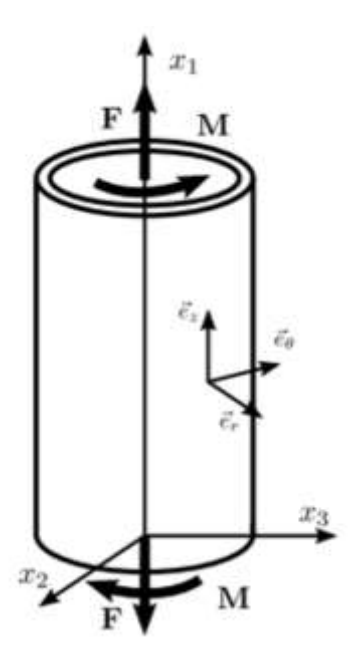
d : Calculer les composantes du tenseur de déformation élastique.

*e*: Pour quelle valeur du coefficient de poisson nous avons un comportement élastique incompressible.

# <u>AN:</u>

$$\sigma_{11}=250MPa$$
 ,  $\sigma_{22}=-300MPa$   $\sigma_{12}=150MPa$  ,  $E=210GPa$  ,  $V=0.3$ 

# 3. Exercice d'application



Quel tenseur de contraintes correspond ce schéma ? 
$$\begin{cases} a: \sigma_{ij} = \begin{vmatrix} \sigma & 0 & 0 \\ 0 & 0 & \tau \\ 0 & \tau & 0 \end{vmatrix} \\ b: \sigma_{ij} = \begin{vmatrix} \sigma & \tau & 0 \\ \tau & 0 & 0 \\ 0 & 0 & 0 \end{vmatrix} \\ c: \sigma_{ij} = \begin{vmatrix} \sigma & 0 & \tau \\ 0 & 0 & 0 \\ \tau & 0 & 0 \end{vmatrix}$$

Justifier votre choix. Calculer dans ce cas le tenseur sphérique et déviateur Quelles conclusions faites-vous ?

### Corrigé

1.1

$$a: \sigma_{ij} = \begin{vmatrix} 0 & \tau & \tau \\ \tau & 0 & 0 \\ \tau & 0 & 0 \end{vmatrix} \begin{cases} -\textit{Tenseur purement déviateur : oui.1} \\ -\textit{Pas de var iation de volume : oui.1} \\ -\textit{Pas de var iation de forme : non.1} \end{cases}$$

On pose  $det(\sigma_{ij} - \sigma) = 0$ . Note : /4

Le calcul donne : 
$$-\sigma(\sigma^2 + 2\tau^2) = 0$$
 et donc 
$$\begin{cases} \sigma_1 = 0 \\ \sigma_2 = -\sqrt{2}\tau \\ \sigma_2 = +\sqrt{2}\tau \end{cases}$$

Le tenseur des contraintes principales s'écrit donc :

$$\sigma_{ij} = \begin{vmatrix} 0 & 0 & 0 \\ 0 & -\sqrt{2}\tau & 0 \\ \tau & 0 & \sqrt{2}\tau \end{vmatrix}$$

On confirme que le tenseur est purement déviateur car sa trace est nulle. Or, un tenseur déviateur n'engendre qu'une variation de volume, donc pas de variation de forme. A titre illustratif, la contrainte hydrostatique est nulle ( $p = 0 + \sqrt{2}\tau - \sqrt{2}\tau = 0$ ).

1.2

# b: Hypothéses:

- Elasticité linéaire. 1
- Elasticité complétement 1

**C**:

$$\left(\sigma_{ij} = \lambda \delta_{ij} \varepsilon_{kk} + 2\mu \varepsilon_{ij}\right)$$

$$\begin{vmatrix} \sigma_{11} \\ \sigma_{22} \\ \sigma_{33} \\ \sigma_{31} \\ \sigma_{32} \\ \sigma_{12} \end{vmatrix} = \begin{vmatrix} (\lambda + 2\mu) & \lambda & \lambda & 0 & 0 & 0 \\ \lambda & (\lambda + 2\mu) & \lambda & 0 & 0 & 0 \\ \lambda & \lambda & (\lambda + 2\mu) & 0 & 0 & 0 \\ 0 & 0 & 0 & 2\mu & 0 & 0 \\ 0 & 0 & 0 & 0 & 2\mu & 0 \\ 0 & 0 & 0 & 0 & 0 & 2\mu \end{vmatrix} \begin{bmatrix} \varepsilon_{11} \\ \varepsilon_{22} \\ \varepsilon_{33} \\ \varepsilon_{31} \\ \varepsilon_{32} \\ \varepsilon_{12} \end{vmatrix}$$

### 1.3 Plasticité de VonMisés.

a : { Effet Baushinger négligé : oui. b :

Matériau anisotrope: non.

$$\sigma_{ij} = \begin{vmatrix} 0 & \tau & \tau \\ \tau & 0 & 0 \\ \tau & 0 & 0 \end{vmatrix}, p = -(0+0+0) = 0 \Rightarrow pas de \text{ var intion de volume}:$$

$$\sigma_{ij} = \begin{vmatrix} 0 & \tau & \tau \\ \tau & 0 & 0 \\ \tau & 0 & 0 \end{vmatrix}, p = -(0+0+0) = 0 \Rightarrow pas de \text{ var } iation \ de \ volume1$$

### Noté sur 2

$$\sigma_{ij} = \begin{vmatrix} \sigma & 0 & 0 \\ 0 & 0 & 0 \\ 0 & 0 & 0 \end{vmatrix} = -p\delta_{ij} + S_{ij} = \frac{1}{3} \begin{vmatrix} \sigma & 0 & 0 \\ 0 & \sigma & 0 \\ 0 & 0 & \sigma \end{vmatrix} + \frac{1}{3} \begin{vmatrix} 2\sigma & 0 & 0 \\ 0 & -\sigma & 0 \\ 0 & 0 & -\sigma \end{vmatrix}$$

On voit bien nous avons un tenseur sphérique non nul et un tenseur déviateur non nul, et donc une variation de volume et une variation de forme.

**C**:

$$\frac{1}{\sqrt{2}}\sqrt{(\sigma_{11}-\sigma_{22})^2+(\sigma_{22}-\sigma_{33})^2+(\sigma_{33}-\sigma_{11})^2+6(\sigma_{12}^2+\sigma_{23}^2+\sigma_{31}^2)}-\sigma_e \le 0 \text{ peut s'écrire}: \sqrt{3J_2}-\sigma_e \le 0$$

On doit démontrer que  $\frac{1}{2} \left[ \left( \sigma_{11} - \sigma_{22} \right)^2 + \left( \sigma_{22} - \sigma_{33} \right)^2 + \left( \sigma_{33} - \sigma_{11} \right)^2 + 6 \left( \sigma_{12}^2 + \sigma_{23}^2 + \sigma_{31}^2 \right) \right] = 3J_2$ 

$$J_{2}^{2} = \frac{1}{2} \left( S_{ij} . S_{ij} \right) = \frac{1}{2} \left[ \left( S_{1} \right)^{2} + \left( S_{2} \right)^{2} + \left( S_{3} \right)^{2} \right] = \frac{1}{2} \left[ \left( \sigma_{1} - \frac{1}{3} \left( \sigma_{1} + \sigma_{2} + \sigma_{3} \right) \right)^{2} + \left( \sigma_{2} - \frac{1}{3} \left( \sigma_{1} + \sigma_{2} + \sigma_{3} \right) \right)^{2} + \left( \sigma_{3} - \frac{1}{3} \left( \sigma_{1} + \sigma_{2} + \sigma_{3} \right) \right)^{2} \right]$$

Le calcul donne:

$$J_{2}^{2} = \frac{1}{2} \frac{1}{9} \left[ \left( 2\sigma_{1} - \sigma_{2} - \sigma_{3} \right)^{2} + \left( 2\sigma_{2} - \sigma_{1} - \sigma_{3} \right)^{2} + \left( 2\sigma_{3} - \sigma_{1} - \sigma_{2} \right)^{2} \right]$$

$$J_2^2 = \frac{1}{2} \frac{1}{9} \Big[ 2\sigma_1^2 + 2\sigma_2^2 + 2\sigma_3^2 - 2\sigma_1\sigma_2 - 2\sigma_2\sigma_3 - 2\sigma_3\sigma_1 \Big]. \text{ En factorisant, on obtient :}$$

$$9J_{2}^{2} = \frac{1}{2} \left[ (\sigma_{1} - \sigma_{2})^{2} + (\sigma_{2} - \sigma_{3})^{2} + (\sigma_{3} - \sigma_{1})^{2} \right] \Rightarrow 3J_{2} = \frac{1}{2} \left[ (\sigma_{1} - \sigma_{2})^{2} + (\sigma_{2} - \sigma_{3})^{2} + (\sigma_{3} - \sigma_{1})^{2} \right]$$

### 2. Exercice:

2.1

 $\sigma_{13} = \sigma_{31} = \sigma_{23} = \sigma_{32} = 0$  Donc la direction 3  $\sigma_{33}$  est principale. Nous avons donc un tenseur plan. Pour calculer les composantes principales du tenseur.

On pose 
$$\det(\sigma_{ij} - \sigma) = \begin{vmatrix} (\sigma_{11} - \sigma) & \sigma_{12} \\ \sigma_{21} & (\sigma_{22} - \sigma) \end{vmatrix} = 0$$

Le calcul donne:

Le calcul donne : 
$$\sigma^2 - (\sigma_{11} + \sigma_{22})\sigma + \sigma_{11}\sigma_{22} - \sigma_{12}^2 = 0$$

La solution de cette équation fournit  $\sigma_1$  et  $\sigma_2$ 

$$\sigma_{ii} = -p\delta_{ii} + S_{ii}$$

$$\sigma_{ij} = \begin{bmatrix} \sigma_{11} & \sigma_{12} & 0 \\ \sigma_{21} & \sigma_{22} & 0 \\ 0 & 0 & 0 \end{bmatrix} = \frac{1}{3} \begin{vmatrix} (\sigma_{11} + \sigma_{22}) & 0 & 0 \\ 0 & (\sigma_{11} + \sigma_{22}) & 0 \\ 0 & 0 & 0 \end{vmatrix} + \frac{1}{3} \begin{vmatrix} (2\sigma_{11} - \sigma_{22}) & \sigma_{12} & 0 \\ \sigma_{21} & (2\sigma_{22} - \sigma_{11}) & 0 \\ 0 & 0 & 0 \end{vmatrix}$$

$$- \quad \left|\sigma_{\vec{n}}\right| = \sigma_{ij}n_jn_i = \sigma_{11}n_1^2 + \sigma_{22}n_2^2 + \sigma_{33}n_3^2 + 2\sigma_{12}n_1n_2 + 2\sigma_{23}n_2n_3 + 2\sigma_{31}n_3n_1$$

Direction octaédrique  $\vec{\Delta} = \left(\frac{1}{\sqrt{3}}, \frac{1}{\sqrt{3}}, \frac{1}{\sqrt{3}}\right)$  par rapport aux directions principales.

$$n_1 = n_2 = n_3 = \frac{1}{\sqrt{3}}$$

Le calcul donne :  $\sigma_{n(oct)} = \sigma_{ij} n_j n_i = \frac{1}{3} (\sigma_1 + \sigma_2 + \sigma_3)$ 

$$\vec{T}(M,\vec{n}) = \vec{T}_1(M,\vec{n}_1) + \vec{T}_2(M,\vec{n}_2) + \vec{T}_3(M,\vec{n}_3) \Rightarrow$$

$$|\vec{T}(M,\vec{n})| = \sqrt{T_1^2 + T_2^2 + T_3^2}$$

$$\begin{cases} T_1 = \frac{1}{\sqrt{3}} \sigma_1 \\ T_2 = \frac{1}{\sqrt{3}} \sigma_2 \Rightarrow T = \sqrt{\left(\frac{1}{\sqrt{3}} \sigma_1\right)^2 + \left(\frac{1}{\sqrt{3}} \sigma_2\right)^2 + \left(\frac{1}{\sqrt{3}} \sigma_3\right)^2} \\ T_3 = \frac{1}{\sqrt{3}} \sigma_3 \end{cases}$$

$$T_{oct}^{2} = \frac{1}{3} \left( \sigma_{1}^{2} + \sigma_{2}^{2} + \sigma_{3}^{2} \right)$$

$$\tau_{oct} = \sqrt{T_{oct}^2 - \sigma_{n(oct)}} = \sqrt{\frac{1}{3} \left(\sigma_1^2 + \sigma_2^2 + \sigma_3^2\right) - \frac{1}{9} \left(\sigma_1 + \sigma_2 + \sigma_3\right)^2}$$

$$\tau_{oct} = \frac{1}{3}\sqrt{2(\sigma_{1}^{2} + \sigma_{1}^{2} + \sigma_{1}^{2} - \sigma_{1}\sigma_{2} - \sigma_{2}\sigma_{3} - \sigma_{3}\sigma_{3})} = \frac{1}{3}\sqrt{(\sigma_{1} - \sigma_{2})^{2} + (\sigma_{2} - \sigma_{3})^{2} + (\sigma_{3} - \sigma_{1})^{2}}$$

$$\overline{\sigma} = \frac{3}{\sqrt{2}} \tau_{oct}$$

2.2

b:

$$\sigma_{ij} = \frac{E}{1+\nu} \varepsilon_{ij}^{e} + \frac{\nu . E}{(1-2\nu)(1+\nu)} \varepsilon_{KK} \delta_{ij}$$

$$A_{ijkl} = \frac{E}{1+\nu} \begin{vmatrix} 1 + \frac{\nu}{1-2\nu} & \frac{\nu}{1-2\nu} & \frac{\nu}{1-2\nu} & 0 & 0 & 0 \\ \frac{\nu}{1-2\nu} & 1 + \frac{\nu}{1-2\nu} & \frac{\nu}{1-2\nu} & 0 & 0 & 0 \\ \frac{\nu}{1-2\nu} & \frac{\nu}{1-2\nu} & 1 + \frac{\nu}{1-2\nu} & 0 & 0 & 0 \\ 0 & 0 & 0 & 1 & 0 & 0 \\ 0 & 0 & 0 & 0 & 1 & 0 \\ 0 & 0 & 0 & 0 & 0 & 1 \end{vmatrix}$$

$$\varepsilon_{ij}^{e} = \frac{1+\nu}{E}\sigma_{ij} - \frac{\nu}{E}\sigma_{KK}\delta_{ij}$$

$$A^{-1}_{ijkl} = \frac{1}{E} \begin{vmatrix} 1 & -\nu & -\nu & 0 & 0 & 0 \\ -\nu & 1 & -\nu & 0 & 0 & 0 \\ -\nu & -\nu & 1 & 0 & 0 & 0 \\ 0 & 0 & 0 & 1+\nu & 0 & 0 \\ 0 & 0 & 0 & 0 & 1+\nu & 0 \\ 0 & 0 & 0 & 0 & 0 & 1+\nu \end{vmatrix}$$

C : Un essai de traction simple permet d'identifier le module de Young E et le coefficient de Poisson  $\nu$ .

E est donnée par la pente de la droite  $\sigma - \varepsilon_1$  dans le domaine élastique.  $\nu = -\varepsilon_T/\varepsilon_L$  sachant que les tenseurs de contraintes et de déformations dans ce cadre s'écrivent :

$$\sigma_{ij} = \begin{bmatrix} \sigma & 0 & 0 \\ 0 & 0 & 0 \\ 0 & 0 & 0 \end{bmatrix}, \varepsilon_{ij} = \begin{vmatrix} \varepsilon_L & 0 & 0 \\ 0 & \varepsilon_T & 0 \\ 0 & 0 & \varepsilon_T \end{vmatrix}$$

A partir de 
$$\varepsilon_{ij}^e = \frac{1+\nu}{E}\sigma_{ij} - \frac{\nu}{E}\sigma_{KK}\delta_{ij}$$
, on obtient :

$$\begin{cases} \varepsilon_1^e = \frac{1}{E} [\sigma_1 - \nu(\sigma_2)] = 16.10^{-4} \\ \varepsilon_2^e = \frac{1}{E} [\sigma_2 - \nu(\sigma_1)] = 178.10^{-5} \\ \varepsilon_3^e = -\frac{1}{E} [\nu(\sigma_1 + \sigma_2)] = 71.10^{-6} \\ \varepsilon_{12}^e = \varepsilon_{21}^e = \frac{1 + \nu}{E} \sigma_{12} = 93.10^{-5} \end{cases}$$

. En traction simple, 
$$\frac{\Delta V}{V_0} = \varepsilon_1^e + \varepsilon_2^e + \varepsilon_3^e = \frac{1}{E} \left[\sigma\right] - 2\frac{v}{E} \left(\sigma\right) = \sigma \left(\frac{1 - 2v}{E}\right)$$

Elasticité incompressible, donc 
$$\frac{\Delta V}{V_0} = 0 = 1 - 2\nu \Rightarrow \nu = \frac{1}{2}$$

# 3 : Exercice d'application :

Tenseur b. 
$$/ \sigma_{ij} = -p\delta_{ij} + S_{ij} = \begin{vmatrix} \sigma & \tau & 0 \\ \tau & 0 & 0 \\ 0 & 0 & 0 \end{vmatrix} = \frac{1}{3} \begin{vmatrix} \sigma & 0 & 0 \\ 0 & \sigma & 0 \\ 0 & 0 & \sigma \end{vmatrix} + \frac{1}{3} \begin{vmatrix} 2\sigma & 3\tau & 0 \\ 3\tau & -\sigma & 0 \\ 0 & 0 & -\sigma \end{vmatrix}$$

La traction donne un tenseur sphérique non nul, don on a une variation de volume. On a aussi un tenseur déviateur non nul, on a donc aussi une variation de forme.

#### TD 03

# On propose de discuter l'écriture des lois de comportement dans différents cadres.

1 : Plasticité associée non quadratique avec écrouissage isotrope.

$$f(\underline{X}) = f(\sigma_{ij}, R) = f(\sigma_{ij}) - R(p) \qquad f(\sigma_{ij}) = \overline{\sigma} = a \cdot \left\{ S_1 \right\}^m + \left| S_2 \right|^m + \left| S_3 \right|^m \right\}$$

- 1. Présenter et Justifier le cadre utilisé et cette écriture.
- 2. Pour quelle valeur de a et de m nous obtenons le critère de Von Misés.
- 3. Démontrer dans le cadre de Von Misés les éléments présentés au tableau suivant :

	Traction- compression	Torsion	Laminage	Emboutissage equibiaxée
$ar{\mathcal{E}}$	$\left  \ln \frac{S_0}{S} \right $	$\frac{1}{\sqrt{3}}\frac{R\alpha}{L}$	$\frac{2}{\sqrt{3}} \ln \frac{e_0}{e}$	$\ln \frac{e_0}{e}$
$\dot{\overline{\mathcal{E}}}$	$\frac{1}{S} \left  \frac{dS}{dt} \right $	$\frac{1}{\sqrt{3}} \frac{R.d\alpha}{L.dt}$	$\frac{4R_{cyl}\omega\sin\varphi}{\sqrt{3}(e+2.R_{cyl}.(1-\cos\varphi))}$	$\frac{v_z}{e}$
$\bar{\sigma}$	$\frac{F}{S}$	$\sqrt{3}\tau$	$\frac{\sqrt{3}}{2}(\sigma_x - \sigma_z)$	σ

### **Traction-compression:**

 $S_0\,$  : Section initiale de l'échantillon.

S : Section de l'échantillon.

F: Effort de traction ou compression

#### **Torsion:**

R: Rayon de l'échantillon.

 $lpha\,$  : Angle parcourue.

L: Longueur de l'échantillon.

au : Contrainte de torsion

### **Laminage:**

 ${\it e}_{0}\,$  : Epaisseur initiale de la tôle.

 $e_0$ : Epaisseur de la tôle.

 $R_{cvl}$  / Rayon du cylindre.

 $\ensuremath{\omega}$  : Vitesse angulaire du cylindre.

 $\varphi\:$  : Angle de la minage à la position considérée.

 $\sigma_{\scriptscriptstyle \chi}$  : Contrainte longitudinale de laminage.

 $\sigma_{z}$  : Contrainte normale.

# Emboutissage équibiaxée:

 $v_z\,$  : Vitesse du poinçon.

 $\sigma\,$  : Contrainte appliquée.